

防災研究協会 正会員○山野 邦明
立命館大学理工学部 正会員 大同 淳え

1. はじめに。粒子流の運動機構に関する研究は、粒子流中の粒子の運動を時間的・空間的に平均化して行ってきた¹⁾。特に構成方程式に関する研究においてはこのような平均化の手法は有効であるが、構成方程式から導かれる以外の性質を説明しようとすると困難なことが多い。そこで、流れのマクロ的な性質が粒子流の極所的状態、すなわち、個々の粒子が持っているエネルギー、及びその衝突時の変化、に依存していることを考え、衝突時の粒子の運動の変化をもとに、2次元開水路における粒子流中の粒子の運動について考察する。

2. 衝突時の粒子の運動に関する考察。流れの中で上層粒子は下層粒子に対して相対速度をもって衝突するが、その時に、上層粒子はエネルギーの一部を失う。失ったエネルギーと、平均的な、外部から供給されるエネルギーの大小関係により、その後の粒子の運動が決まる。定常流であれば、粒子が失うエネルギーの平均値と、外部から供給されるエネルギーの平均値、今の場合は路床勾配に相当する、と等しいから、もし粒子が失ったエネルギーが平均的な供給されるエネルギーよりも小さければ、粒子は上昇し、もし等ければ同じ層に留まり、大きければ、落下するであろう。流れの中を落下していく粒をdeadな粒子、それ以外の粒をaliveな粒子と呼ぶと、aliveな粒子は流れの中に粒子を分散させ上層の粒子を支えている粒であることがわかる。すなわち、粒子流としての分散応力は、aliveな粒子によって受けられている。

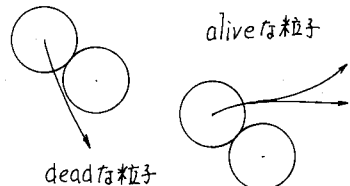


図1. aliveな粒子とdeadな粒子

3. deadな粒子の発生確率とaliveな粒子層の上昇速度。図2のように粒子流中に、路床に平行に、仮想的なaliveな粒子からなる層を考える。この層はマクロ的には等しい分散応力を生じている。deadな粒子は、この層をつきぬけて下層へと落下していく。もし、マクロ的に、時間的にも、場所的にも濃度変化がないと仮定すると、deadな粒子のこのようなふるまいは、aliveな粒子層の上昇を生じる。その上昇速度を求める。1回の衝突でdeadな粒子の生じる確率をPとする。時間dtの間にaliveな粒子層が上昇する距離dzは、Bagnold²⁾にならって図3のような配列モデルを考えることにより、連続式から、 $dz = b_0 D \{ 1 - (1-P)^{\frac{1}{3} dt} \} \dots (1)$ と、表される。ここで、 δu は単位時間当たりの衝突回数で、図3より、 $\delta u = \delta u / b_0 D = du / dz \dots (2)$ と、求まる。(2)式を(1)式に代入し、 du / dz をBagnoldの構成方程式²⁾

$$\rho g(h-z) \sin \theta = \alpha \sigma (\lambda D)^2 (du / dz)^2 \dots (3)$$

を用いて書きなおすと、結局、aliveな粒子層の無次元上昇速度Aは、 $A = \frac{dz / dt}{(1-z/h)^{1/2} U_*} = - \sqrt{\frac{\rho}{\alpha \sigma}} \frac{b_0}{\lambda} \log(1-P) \dots (4)$

と求まる。確率Pの値を求めるため、aliveな粒子層のtracer kとして、大粒子を20%ほど混合させた砂を用いて粒子流を発生させ、

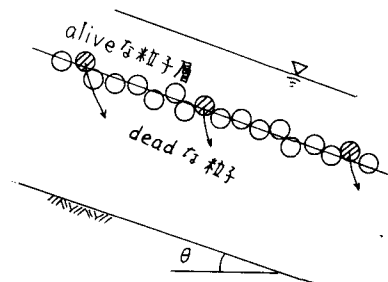


図2. aliveな粒子層とdeadな粒子

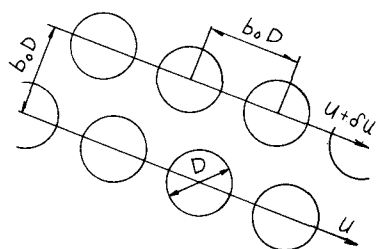


図3. 粒子の配列モデル

側壁からビデオで撮影し大粒子を追跡することにより上昇速度を求めた。(4)式のPを0.1~0.5と変化させて得た理論値と実験値の比較を図4に示す。図4より、実験条件によらず、P=0.1~0.2の値をとることがわかる。

4. Pの粒子回りの空間の大きさとしての評価

deadな粒子が、aliveな粒子層をぬって落下するためには、それだけの空間がdeadな粒子回りに存在する必要がある。deadな粒子は、自己の回りの空間を拡大することによってエネルギーを放出し、その隙間を落下してゆく粒子のことであるともいえる。従ってdeadな粒子の落下は、粒子が通過することができると空間の大きさ、deadな粒子が通過するときのalive

な粒子層の粒子間隔で表現できることははずである。deadな粒子が通過するときのaliveな粒子層の粒子間隔を、 $bD = \alpha b_0 D$ 、 α :定数。…(5)とおくと、deadな粒子が生じる確率に相当する粒子の通過確率は、前報³⁾、 $P = 1 - (K/b)^2$ …(6)と求まる。ただし、Kは、

$$(a) b \cos \theta > 2 \text{ のとき}, \quad K = \pi / \cos \theta$$

$$(b) b \cos \theta < 2 < b \text{ のとき},$$

$$K = \frac{2}{\cos \theta} \left\{ \sin^{-1} \left(\frac{b}{2} \cos \theta \right) + \frac{b}{2} \cos \theta \sqrt{1 - \left(\frac{b}{2} \cos \theta \right)^2} \right\}$$

$$(c) b < 2 < \sqrt{1 + \cos^2 \theta} \cdot b \text{ のとき},$$

$$K = \frac{1}{\cos \theta} \left\{ \pi - 2 \cos^{-1} \left(\frac{b}{2} \cos \theta \right) - 2 \cos^{-1} \left(\frac{b}{2} \right) + b \cos \theta \sqrt{1 - \left(\frac{b}{2} \cos \theta \right)^2} + b \sqrt{1 - \left(\frac{b}{2} \right)^2} \right\} \quad \dots (7)$$

$$(d) \sqrt{1 + \cos^2 \theta} \cdot b < 2 \text{ のとき}, \quad K = b^2$$

である。実験から得られたPから、(6)式でbを計算し図5に示す。

図5より、bは実験条件によらず、ほぼ2.0という値をとっている。このことは、格子ゲムに関する芦田・高橋の研究で、格子ゲムを通過する粒子の粒径が、格子間隔の1/1.5~1/2.0倍であると結論づけている⁴⁾ことと比較すると、(6)式から得られたbの値が、ある粒径の粒子が格子ゲムを通過するのに必要な格子間隔の最大値に等しいことがわかる。これは、流れの中のaliveな粒子が回りの物体に束縛されずに自由に運動するためには、粒子回りに、一边が粒径の2倍ほどの空間が必要であることを示していると思われる。

5. 結論 粒子流の種々の性質を決定しているのは、粒子の衝突時の挙動である。衝突時に粒子が失うエネルギーと、外部から与えられるエネルギーを比較することにより、衝突後の粒子をaliveな粒子とdeadな粒子とに分けた。そして、1回の衝突でdeadな粒子が生じる確率Pを定義することにより、粒子が自由に通過しうる空間の大きさが決定された。実験からこれらの値を求めると、確率Pは、0.1~0.2、空間の大きさは一边がほぼ粒径の2倍程度である。

参考文献: 1) 山野・大同・三輪・西本: Newton流体を含む粒子流の構成方程式のエネルギー的考察、39回年講、昭和59年。 2) R. A. Bagnold: Proc. Roy. Soc. A 225, pp. 49~63, 1954. 3) 山野・大同: 土石流の粒度偏析に関する一考察、37回年講、昭和57年。 4) 芦田・高橋: 土石流の調節制御に関する研究、京都大学防災研年報、第23号 B-2 pp. 433~442、昭和55年。

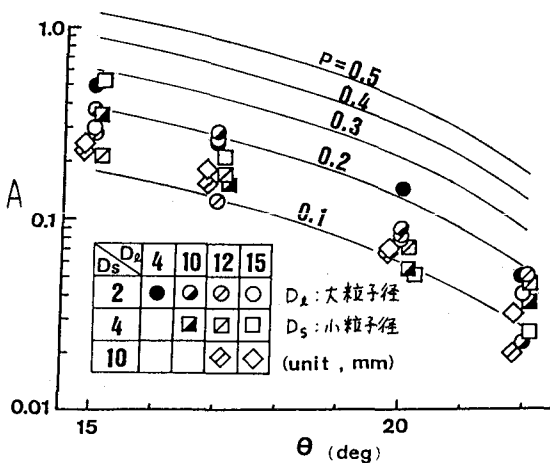


図4. 無次元上昇速度Aと勾配との関係。

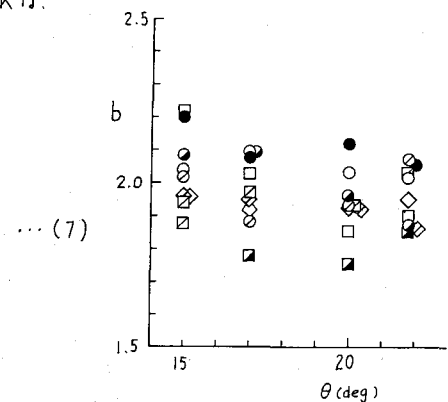


図5. bと勾配との関係。